

FIG. 1

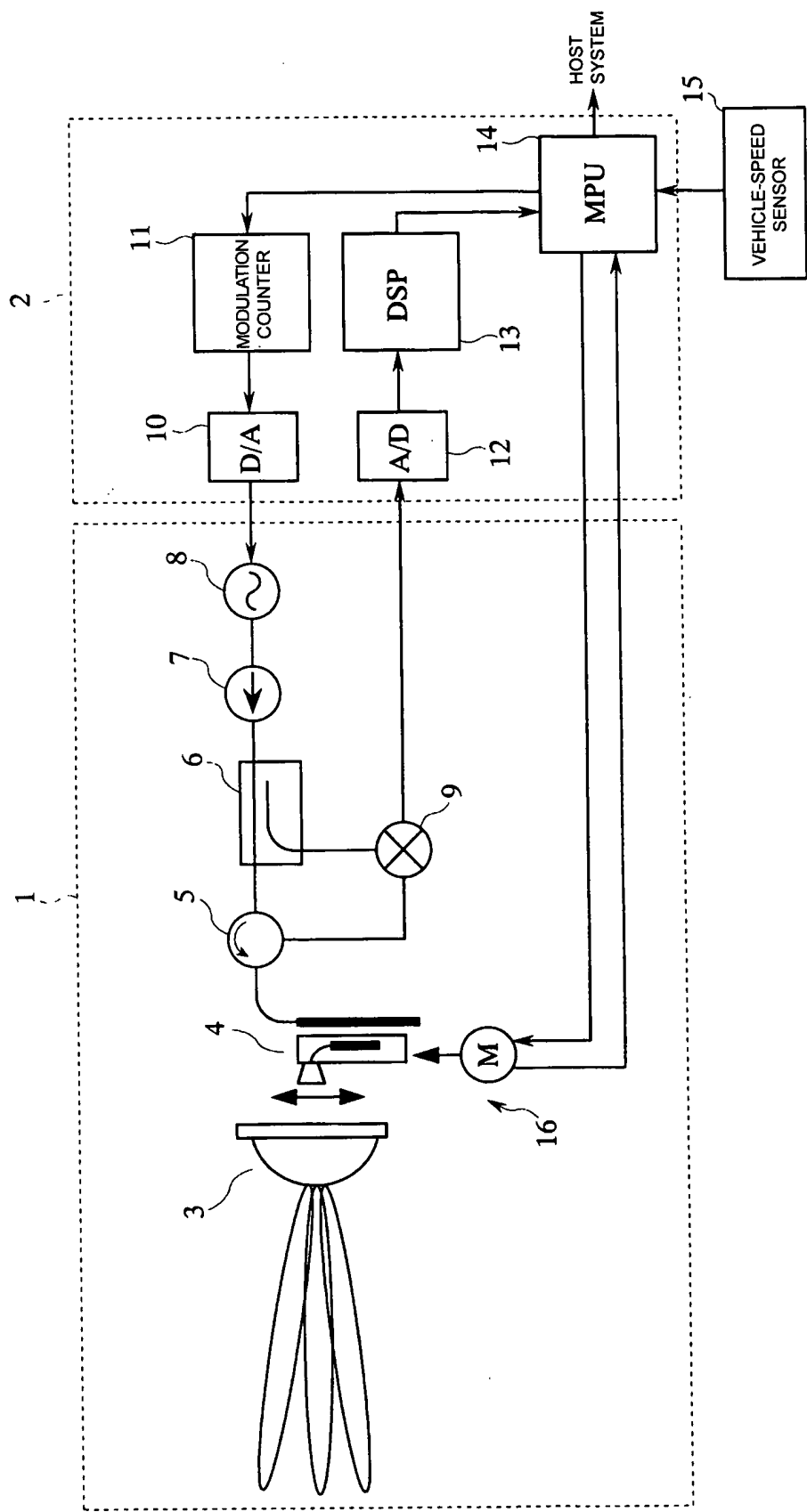
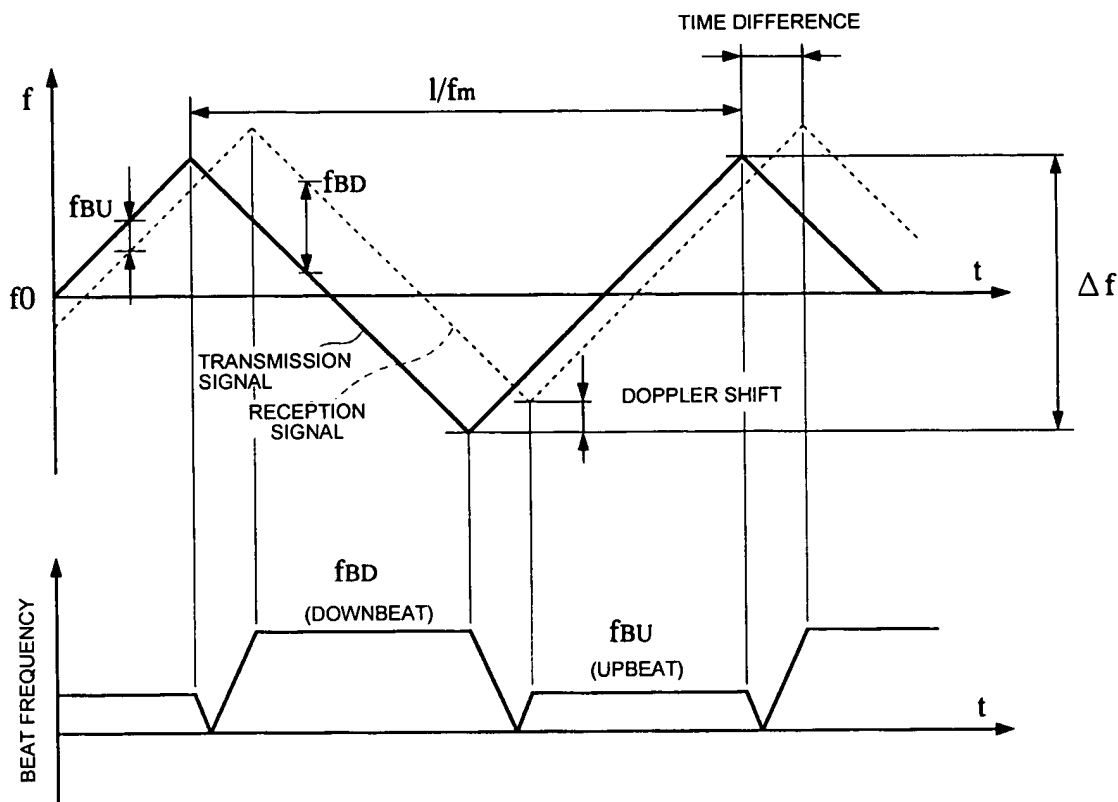
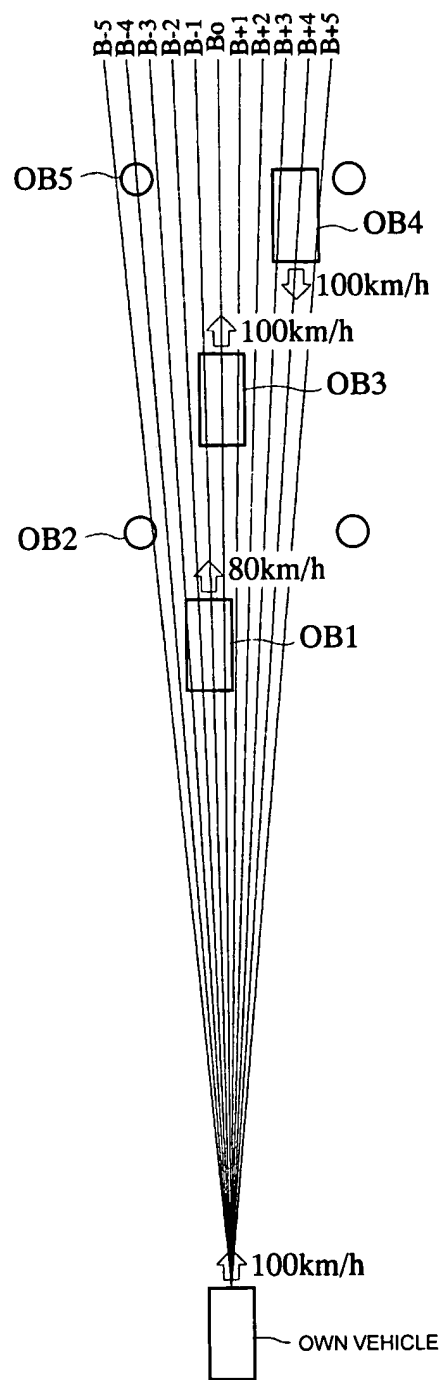


FIG. 2



10/516924

FIG. 3



10/516924

FIG. 4

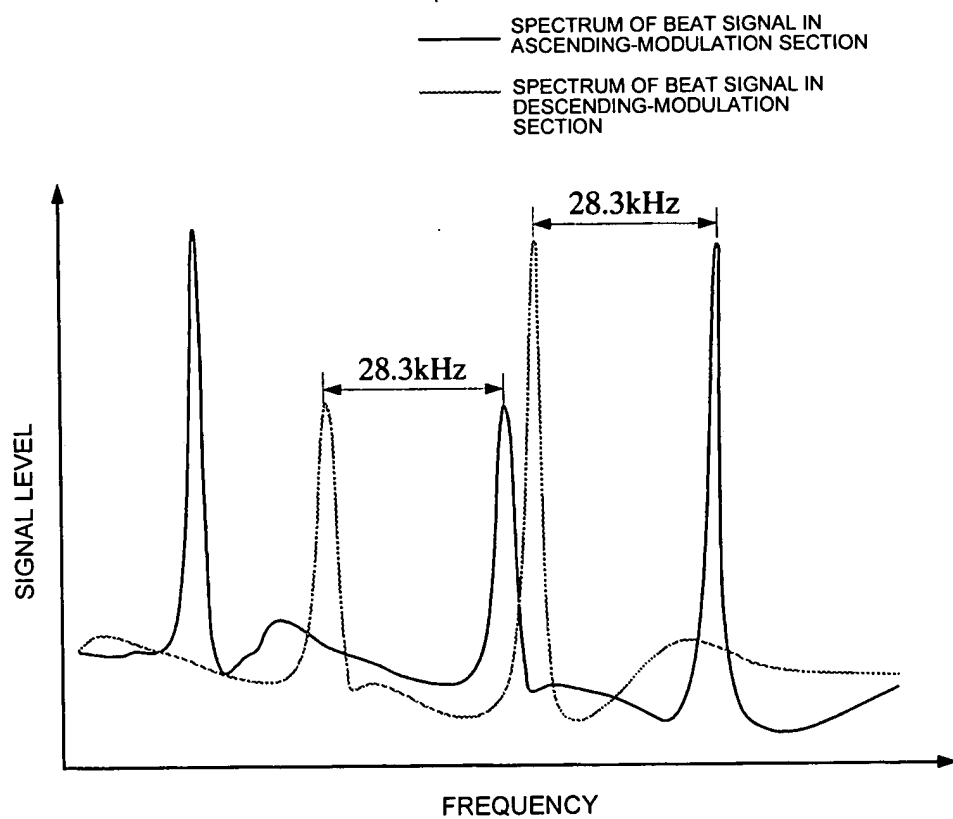
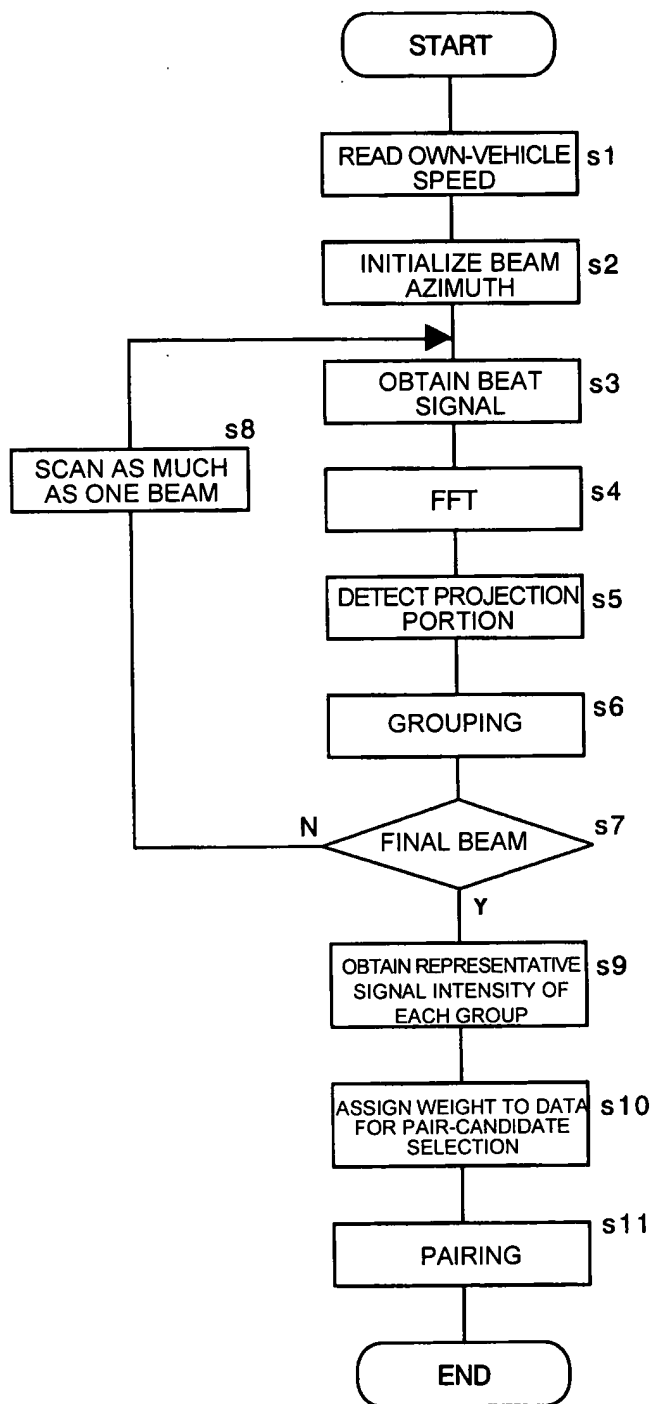


FIG. 5



10/516924

FIG. 6A

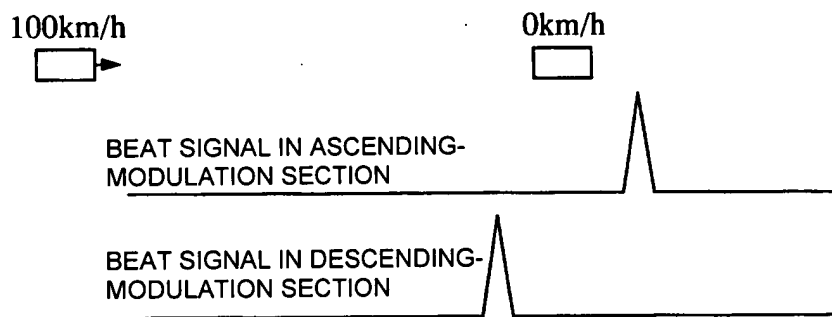


FIG. 6B

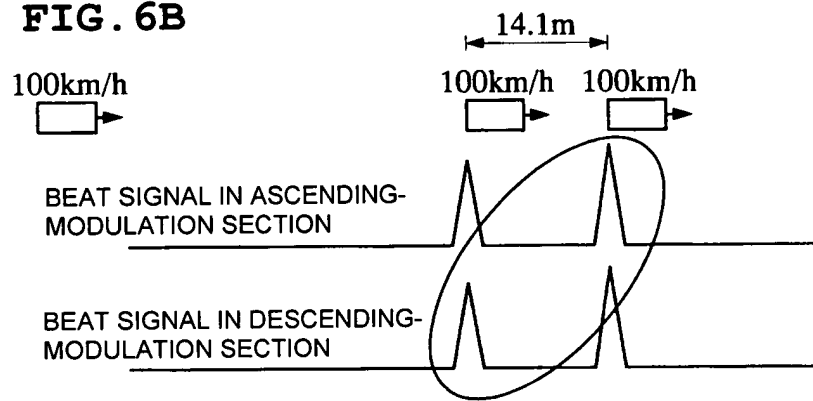
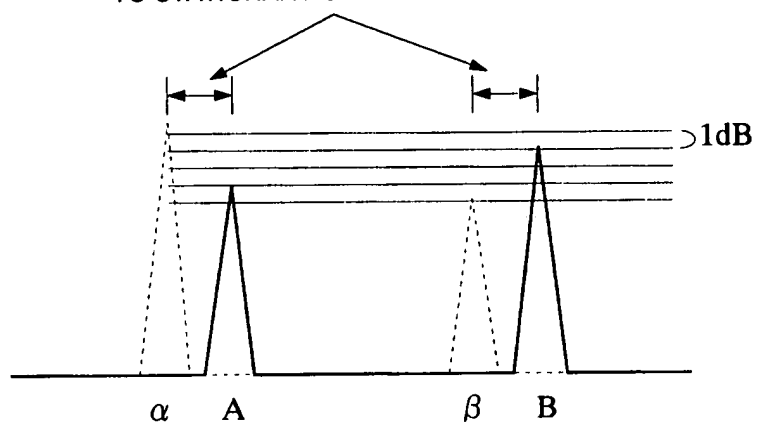


FIG. 7

A , B PEAK OF ASCENDING-MODULATION SECTION
 α , β PEAK OF DESCENDING-MODULATION SECTION

FREQUENCY DIFFERENCE CORRESPONDING
TO STATIONARY OBJECT



10/516924

FIG. 8A

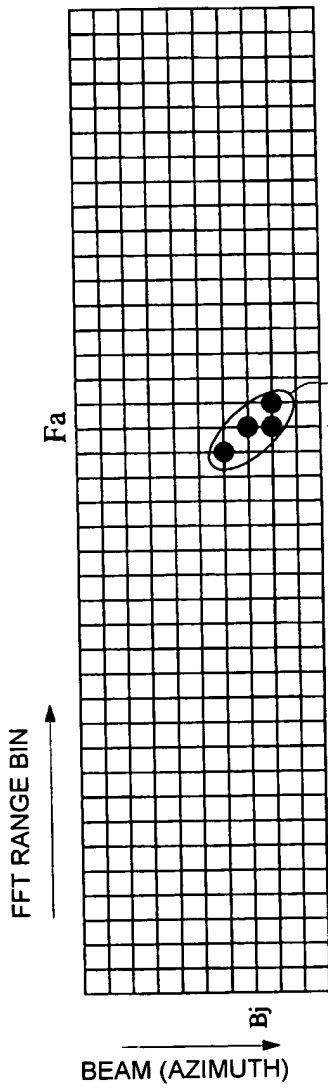


FIG. 8B

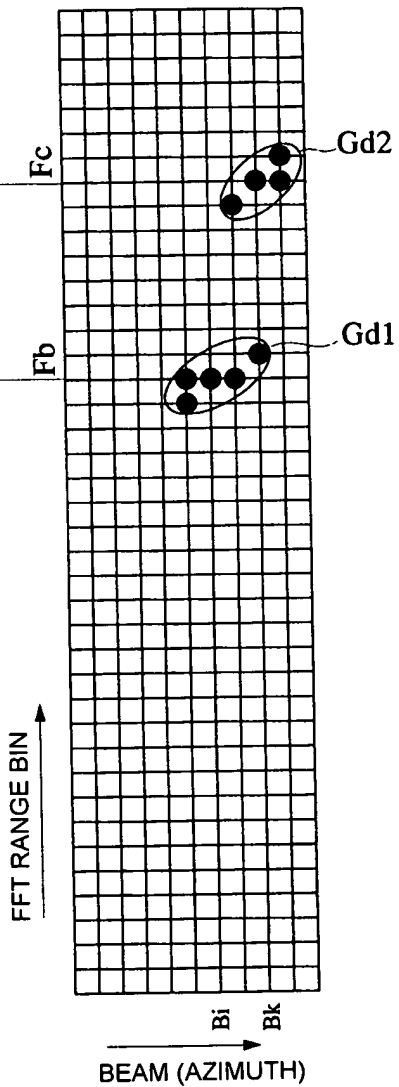
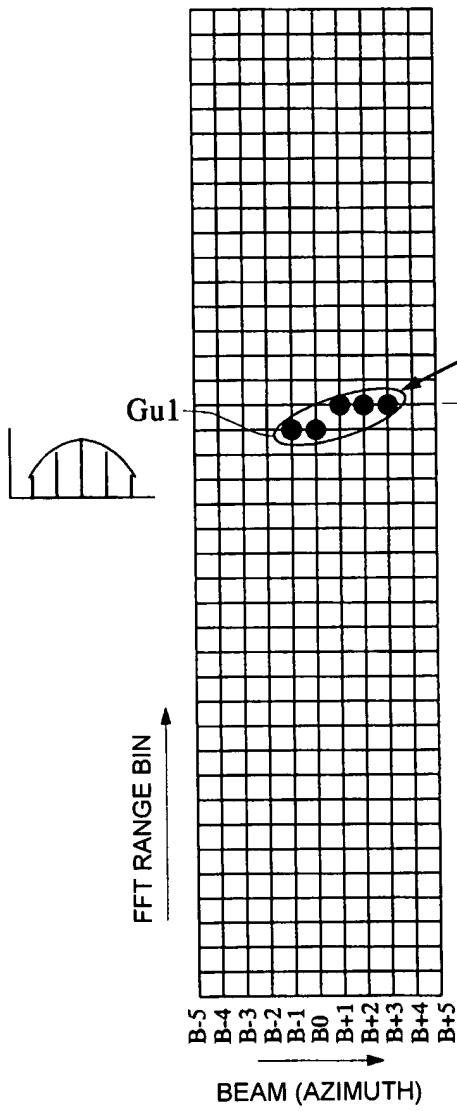
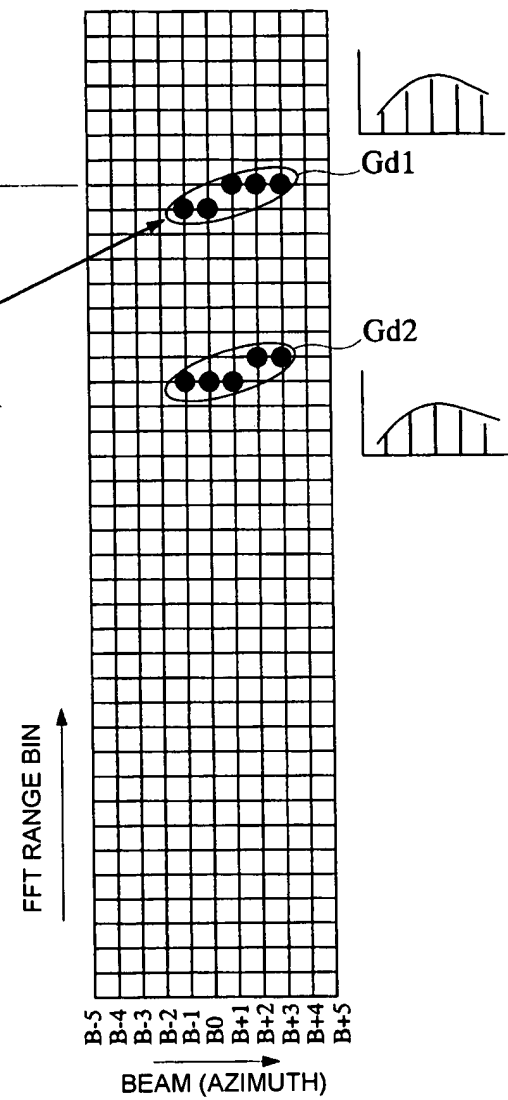


FIG. 9A**FIG. 9B**

10/516924

FIG.10A

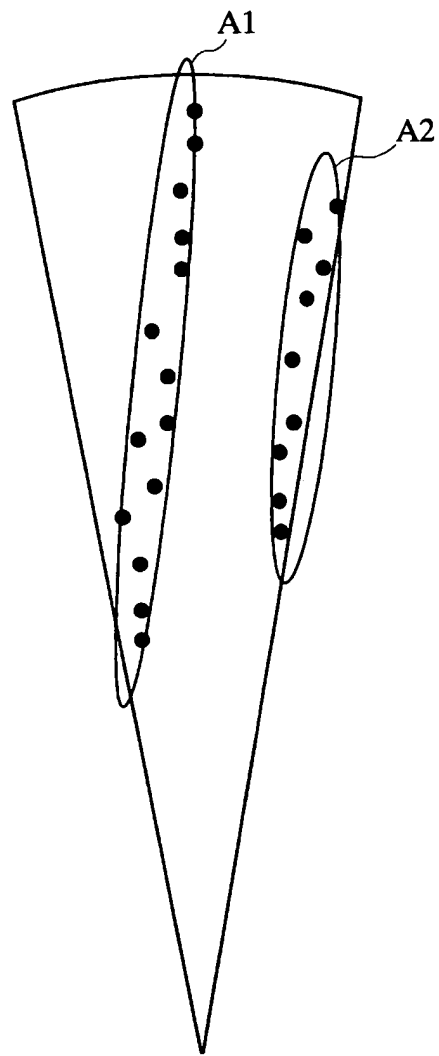


FIG.10B

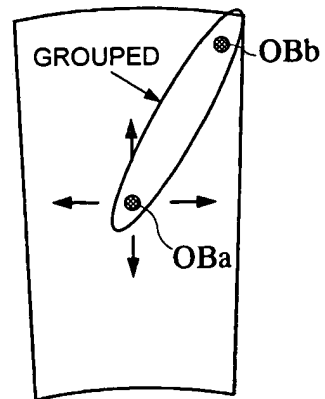
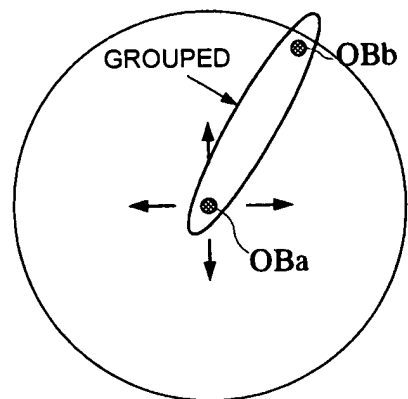
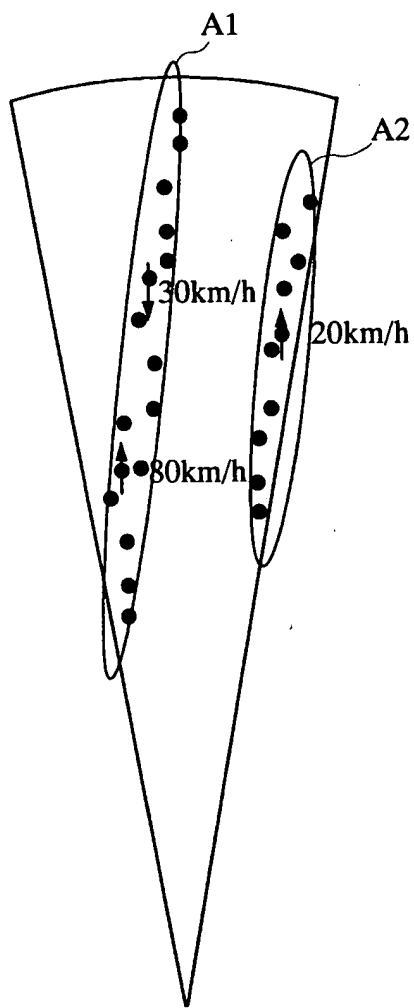


FIG.10C



10/516924

FIG. 11



10/516924

FIG. 12

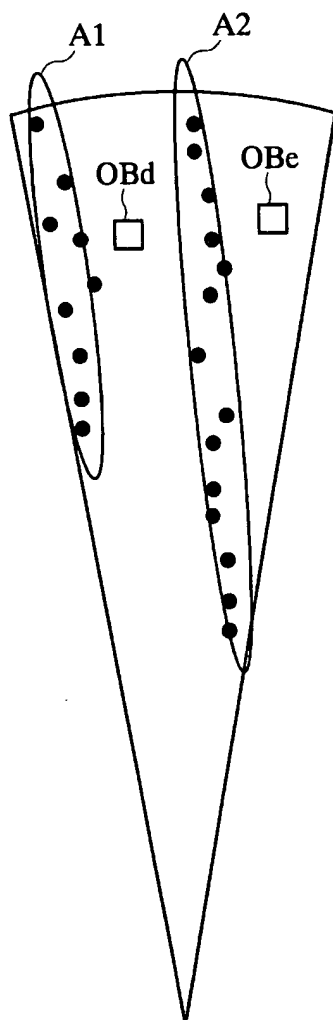


FIG. 13